

ВИБРОДИАГНОСТИКА НАНООБЪЕКТОВ

В работе [1] исследуется взаимодействие нанобъекта, моделируемого стержнем, совершающим изгибные колебания, и кантилевера атомного силового микроскопа (АСМ). При этом явление антирезонансов в системе позволяет теоретически и экспериментально определять упругие характеристики нанобъектов.

В данной работе наряду с собственной динамикой кантилевера и нанобъекта, моделируемого, как и в [2], двумя массами-кластерами, соединенными высокоориентированной решеткой наностержней, учитываются и динамические свойства многослойной подложки (рис. 1).

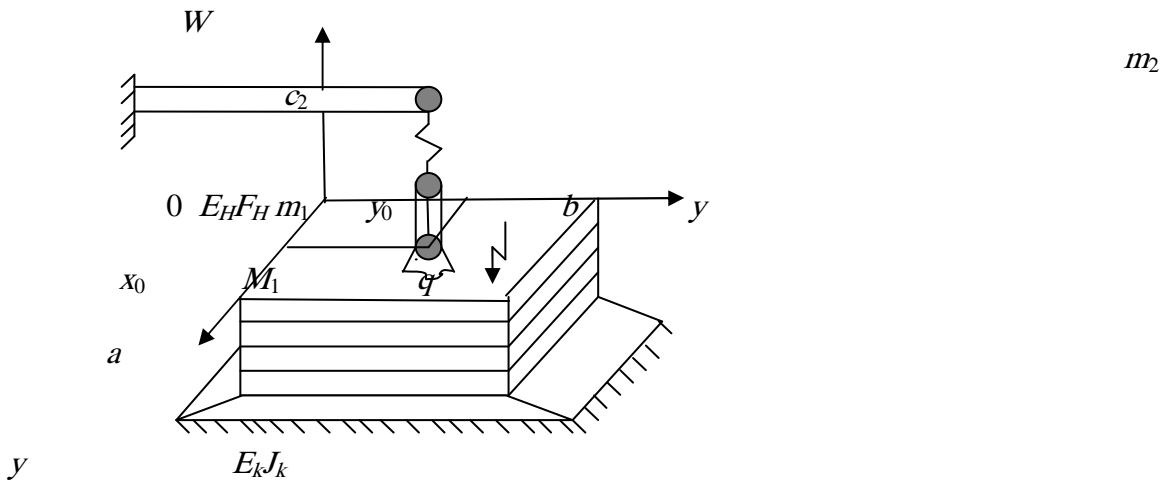


Рис. 1. Кантилевер и подложка с нанобъектом

Нелинейную динамику большой системы «кантилевер-подложка-нанобъект» опишем дифференциальными уравнениями аналогичными уравнениям работы [3] и монографии [4], добавив к ним дифференциальное уравнение кантилевера:

$$\Delta\Delta F = -\frac{1}{2} EhL(W, W); \tag{1}$$

$$D\left(1 - \frac{\Theta h^2 \Delta}{\beta}\right) \Delta\Delta\chi + \rho h \frac{\partial^2}{\partial t^2} \left(1 - \frac{h^2}{\beta} \Delta\right) \chi + 2\rho h \varepsilon \frac{\partial}{\partial t} \left(1 - \frac{h^2}{\beta} \Delta\right) \chi = L(W, F) + q(x, y) \cos \omega t; \tag{2}$$

$$W = \left(1 - \frac{h^2}{\beta} \Delta\right) \chi; \tag{3}$$

$$\sigma' = \dot{U}, \quad \dot{\sigma} = U'; \tag{4}$$

$$D_2 W^{(4)} + \rho_2 \ddot{W}_2 = 0. \tag{5}$$

Обозначения, применяемые здесь, соответствуют принятым в [3] и [4]. $W_2(x_2, t)$ – прогиб кантилевера в сечении с координатой x_2 . Краевые условия для кантилевера

$$W_2(0, t) = W_2'(0, t) = W_2''(L_2, t) = 0; \tag{6}$$

$$D_2 W_2'''(L_2, t) = C_2(W_2(L_2, t) - U(0)) - m_2 \ddot{W}_2(L_2, t).$$

Содержат длину кантилевера L_2 , его изгибную жесткость D_2 , коэффициент линеаризации потенциала полевого взаимодействия иглы кантилевера и нанобъекта C_2 , массу иглы кантилевера m_2 .

Решение системы уравнений (1) – (4) запишем в форме, принятой в работе [3] и определим неизвестные функции и константы, входящие в это решение, методом, изложенным в той же работе. Решение краевой задачи (5), (6) для кантилевера запишем в функциях А.Н. Крылова $S_1(x_2)$, $T_1(x_2)$, $U_1(x_2)$, $V_1(x_2)$:

$$W_2(x_2, t) = W_{20}(x_2)\cos(\omega t) + W_{21}(x_2)\sin(\omega t); \quad (7)$$

$$W_{20}(x_2) = A_0 S_1(x_2) + B_0 T_1(x_2) + C_0 U_1(x_2) + D_0 V_1(x_2); \quad (8)$$

$$W_{21}(x_2) = A_1 S_1(x_2) + B_1 T_1(x_2) + C_1 U_1(x_2) + D_1 V_1(x_2), \quad (9)$$

где

$$S_1(x_2) = \frac{1}{2}(Chk_1 x_2 + \cos k_1 x_2); \quad T_1(x_2) = \frac{1}{2}(Shk_1 x_2 + \sin k_1 x_2);$$

$$U_1(x_2) = \frac{1}{2}(Chk_1 x_2 - \cos k_1 x_2); \quad V_1(x_2) = \frac{1}{2}(Shk_1 x_2 - \sin k_1 x_2);$$

$$k_1 = \sqrt[4]{\frac{\rho_2 \omega^2}{E_2 J_2}}. \quad (10)$$

Определив произвольные постоянные в (8) и (9) из краевых условий (6), можно определить силу воздействия кантилевера на решетку наностержней и объединив ее с силой инерции массы m_1 нанобъекта, записать граничное условие для наностержней в форме условия (5) работы [3], но с приведенной массой m_{np} :

$$\sigma(0, t) = \frac{m_{np}}{I_H F_H \rho_H} \dot{U}(0, t). \quad (11)$$

Безразмерный параметр массы μ_1 , введенный в [3], заменяется, соответственно, на приведенный:

$$\mu_{1np} = \mu_1 + \mu_2 C_2^* (C_2^* (T_1(1) U_1(1) - S_1(1) V_1(1)) / (D_2^* k^* (S_1^2(1) - T_1(1) V_1(1)) - (C_2^* + m_2^* \omega^2) (S_1(1) V_1(1) - T_1(1) U_1(1)) \omega^2) - 1 / \omega^2). \quad (12)$$

Здесь введены безразмерные параметры:

$$C_2^* = \frac{C_2 I_H}{E_H F_H}; \quad D_2^* = \frac{I_H D_2}{L_2^3 E_H F_H};$$

$$\omega^* = \omega I_H \sqrt{\frac{\rho_H}{E_H}}; \quad k^* = k_1 L_2; \quad m_2^* = \frac{m_2}{I_H F_H \rho_H}. \quad (13)$$

Нижний индекс «H» в (11) и (13) указывает, что данная величина относится к нанобъекту. Теперь амплитудно-частотное уравнение большой системы можно записать в форме, полученной в работе [3], заменив в нем μ_1 на μ_{1np} :

$$\left(\omega_{0,mm}^2 + A(\omega) + \frac{3}{4} \omega_{0,mm}^2 k C_1^2 - \omega^2 \right)^2 + 4\epsilon^2 \omega^2 = \frac{g_0^2}{C_1^2}; \quad (14)$$

$$A(\omega) = -\omega^2 \alpha(\omega) \sin^2 \frac{m\pi x_0}{a} \sin^2 \frac{m\pi y_0}{b};$$

$$\alpha(\omega) = \frac{\mu_2(\tau\omega\mu_{1np} \cos(\tau\omega) + \sin(\tau\omega))}{\tau\omega(\mu_2 \cos(\tau\omega) - \mu_{1np} \tau\omega \sin(\tau\omega))} + \mu_3. \quad (15)$$

Если в (14) положить $k = \varepsilon = \bar{q}_0 = 0$, то получим частотное уравнение большой системы при колебаниях с малыми амплитудами:

$$\omega_{0,mm}^2 - \omega^2 + A(\omega) = 0. \quad (16)$$

Предельным переходом при $D_2^* k^* \rightarrow \infty$ получаем, что $\mu_{1np} = -\mu_2 C_2^* / \omega^{*2}$. При этом значении μ_{1np} из (16) получаем частотное уравнение парциальной системы без кантилевера с закрепленным верхним концом упругого элемента жесткости C_2 :

$$\omega_{0,mm}^2 - \omega^2 - \omega(\sin(\tau\omega) - \tau\omega\mu_2 C_2^* \cos(\tau\omega) / \omega^{*2}) /$$

$$/ (\tau(\cos(\tau\omega) + C_2^* \tau\omega \sin(\tau\omega) / \omega^{*2})) \sin^2 \frac{\pi\pi x_0}{a} \sin^2 \frac{\pi\pi y_0}{b} = 0. \quad (17)$$

Корни этого уравнения являются антирезонансными частотами кантилевера. Уравнения (14), (16), (17) позволяют решать широкий спектр задач по вибродиагностике нанобъекта, подложки, кантилевера, большой и парциальных систем. Например, при

$$\begin{aligned} k = \varepsilon = \bar{q}_0 = 0; \quad x_0 = a/2; \quad y_0 = b/2; \quad a = 10^{-5} \text{ м}; \quad b = 2 \cdot 10^{-5} \text{ м}; \\ h = 10^{-6} \text{ м}; \quad \nu = 0,25; \quad E = 1,3 \cdot 10^{11} \text{ Па}; \quad \rho = 5,62 \cdot 10^3 \text{ кг/м}^3; \\ m_1 = m_2 = M_1 = 0, I_H = 3 \cdot 10^{-6} \text{ м}; \quad E_H = 1,3 \cdot 10^{11} \text{ Па}; \\ \rho_H = 7,65 \cdot 10^3 \text{ кг/м}^3; \quad \delta = 0; \quad h_3 = 1; \quad h_2 = 6 \cdot 10^{-8} \text{ м}; \\ \rho_2 = 8,7 \cdot 10^{-11} \text{ кг/м}; \quad E_2 = 1,3 \cdot 10^{11} \text{ Па}; \quad L_2 = 1,2 \cdot 10^{-6} \text{ м}; \quad H_2 = 6 \cdot 10^{-7} \end{aligned}$$

одна из частот подложки равна $\Omega_{0,35} = \omega_{0,35} / 2\pi = 0,342811$ ГГц; первые собственные частоты кантилевера равны $\Omega_1 = \omega_1 / 2\pi = 0,049245$ ГГц; $\Omega_2 = 0,308614$ ГГц; при частоте антирезонанса $\Omega = \omega / 2\pi = 0,217531$ ГГц коэффициент линеаризации потенциала взаимодействия кантилевера и нанобъекта составляет $C_2 = 10$ Н/м.

СПИСОК ЛИТЕРАТУРЫ

1. Иванова, Е.А. Об определении параметров жесткости нанобъектов / Е.А. Иванова, Д.А. Индейцев, Н.Ф. Морозов // Доклады Академии наук. – 2006. – Т. 410, № 6. – С. 754 – 758.
2. Кулешов, Ю.В. Динамика многослойной подложки с нанобъектами / Ю.В. Кулешов, М.А. Кирнос, А.М. Кольцова // Труды ТГТУ. – Тамбов : Изд-во Тамб. гос. техн. ун-та, 2008. – Вып. 21. – С. 36 – 39.
3. Кулешов, Ю.В. Нелинейные колебания многослойных пластин с сосредоточенными массами / Ю.В. Кулешов // Вестник Тамбовского государственного технического университета. – 2006. – Т. 12, № 4а. – С. 1084 – 1090.
4. Григолюк, Э.И. Многослойные армированные оболочки, расчет пневматических шин / Э.И. Григолюк, Г.М. Куликов. – М. : Машиностроение, 1988. – 288 с.